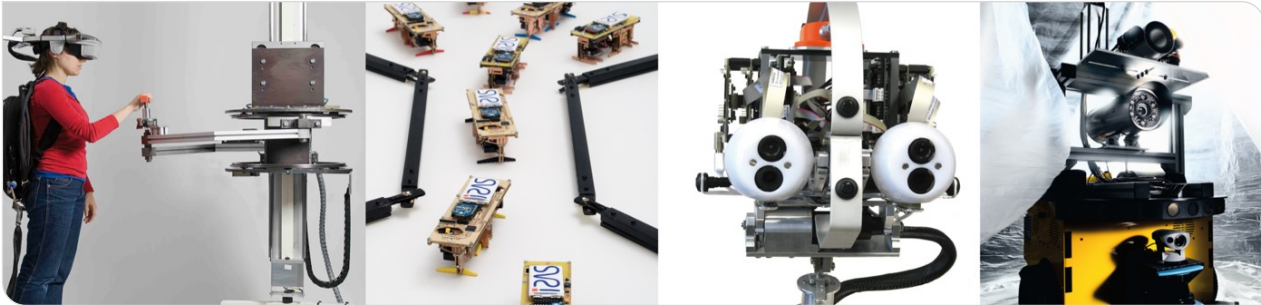


# Punkt-Warping: Inversionsmethode mit Hashing

Lukas Knirsch | 12. Januar 2022

Betreuer: Daniel Frisch



# Inhaltsverzeichnis

## 1. Einstieg

## 2. Funktionsweise

## 3. Vergleich

## 4. Implementierung

## 5. Zusammenfassung

Einstieg

○○

Funktionsweise

○○○○○○○

Vergleich

○

Implementierung

○

Zusammenfassung

○○

# Problemstellung

- Punkte nach Dichtefunktion im Raum verteilen

# Problemstellung

- Punkte nach Dichtefunktion im Raum verteilen
- Mehrere existierende Verfahren
  - Halton (Wong, Luk und Heng 1997)
  - Blue Noise (Yan u. a. 2015)

# Problemstellung

- Punkte nach Dichtefunktion im Raum verteilen
- Mehrere existierende Verfahren
  - Halton (Wong, Luk und Heng 1997)
  - Blue Noise (Yan u. a. 2015)
- *Erweiterung*: gleichmäßige Verteilung
  - Golden Ratio Sequences + Halton/Blue Noise (Schretter, Kobbelt und Dehaye 2012)
  - Fibonacci Grids (Frisch und Hanebeck 2021)

# Problemstellung

- Punkte nach Dichtefunktion im Raum verteilen
- Mehrere existierende Verfahren
  - Halton (Wong, Luk und Heng 1997)
  - Blue Noise (Yan u. a. 2015)
- *Erweiterung*: gleichmäßige Verteilung
  - Golden Ratio Sequences + Halton/Blue Noise (Schretter, Kobbelt und Dehaye 2012)
  - Fibonacci Grids (Frisch und Hanebeck 2021)
- **Ziel 1**: effizientes Vorgehen

# Problemstellung

- Punkte nach Dichtefunktion im Raum verteilen
- Mehrere existierende Verfahren
  - Halton (Wong, Luk und Heng 1997)
  - Blue Noise (Yan u. a. 2015)
- *Erweiterung*: gleichmäßige Verteilung
  - Golden Ratio Sequences + Halton/Blue Noise (Schretter, Kobbelt und Dehaye 2012)
  - Fibonacci Grids (Frisch und Hanebeck 2021)
- **Ziel 1**: effizientes Vorgehen
- **Ziel 2**: mehrdimensional anwendbar

# Problemstellung

- Punkte nach Dichtefunktion im Raum verteilen
- Mehrere existierende Verfahren
  - Halton (Wong, Luk und Heng 1997)
  - Blue Noise (Yan u. a. 2015)
- *Erweiterung*: gleichmäßige Verteilung
  - Golden Ratio Sequences + Halton/Blue Noise (Schretter, Kobbelt und Dehay 2012)
  - Fibonacci Grids (Frisch und Hanebeck 2021)
- **Ziel 1**: effizientes Vorgehen
- **Ziel 2**: mehrdimensional anwendbar
- **Ziel 3**: unabhängig von bestimmten Eigenschaften der Funktion einsetzbar



# Ziel

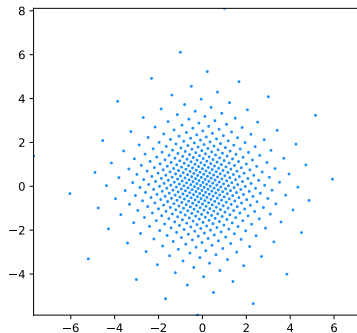
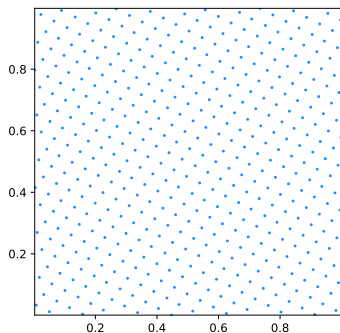


Abbildung: Schretter, Kobbelt und Dehaye 2012

Einstieg



Funktionsweise



Vergleich



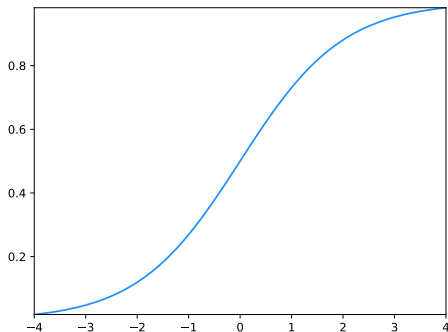
Implementierung



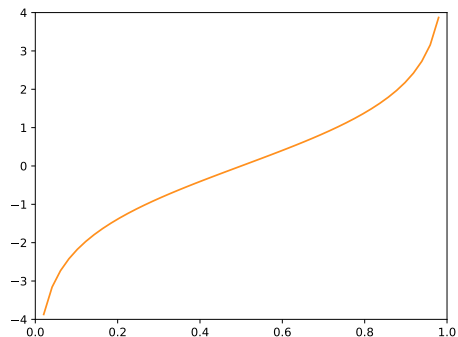
Zusammenfassung



# Inversionsmethode



(a)  $F$  mit Werten von  $-4$  bis  $4$



(b)  $F^{-1}$  mit Werten von 0 bis 1

Einstieg  
○○

Funktionsweise  
●○○○○○

Vergleich  
○

Implementierung  
○

Zusammenfassung  
○○

# Inversionsmethode

- Inverse einer Dichtefunktion benötigt
- Entweder bekannt oder numerisch integrierbar/annäherbar

Name	Funktion F	Zufällige Variable $F^{-1}$
Exponentiell	$1 - e^{-x}$	$\log(1/U)$
Logistisch	$1/(1 + e^{-x})$	$-\log\left(\frac{1-U}{U}\right)$
Cauchy	$1/2 + (1/\pi) \arctan(x)$	$\tan(\pi U)$

Tabelle: Devroye 1986

# Inversionsmethode

- Inverse einer Dichtefunktion benötigt
- Entweder bekannt oder numerisch integrierbar/annäherbar

Name	Funktion F	Zufällige Variable $F^{-1}$
Exponentiell	$1 - e^{-x}$	$\log(1/U)$
Logistisch	$1/(1 + e^{-x})$	$-\log\left(\frac{1-U}{U}\right)$
Cauchy	$1/2 + (1/\pi) \arctan(x)$	$\tan(\pi U)$

Tabelle: Devroye 1986

→ **Problem:** einfache Inversionsmethode ineffizient

# Hash-basierte Inversionsmethode

## Initialisierung.

Funktion  $C_F$  und Wahrscheinlichkeiten  $v_j, j \in [1, n]$

Einstieg  
○○

Funktionsweise  
○○●○○○

Vergleich  
○

Implementierung  
○

Zusammenfassung  
○○

# Hash-basierte Inversionsmethode

## Initialisierung.

Funktion  $C_F$  und Wahrscheinlichkeiten  $v_j, j \in [1, n]$

- $C_F(v_{j-1}) < U \leq C_F(v_j)$  (1) benötigt naiv  $O(n)$

# Hash-basierte Inversionsmethode

## Initialisierung.

Funktion  $C_F$  und Wahrscheinlichkeiten  $v_j, j \in [1, n]$

- $C_F(v_{j-1}) < U \leq C_F(v_j)$  (1) benötigt naiv  $O(n)$
- Berechne  $I_j = \lfloor C_F(v_j) * d \rfloor + 1$  (2)

# Hash-basierte Inversionsmethode

## Initialisierung.

Funktion  $C_F$  und Wahrscheinlichkeiten  $v_j, j \in [1, n]$

- $C_F(v_{j-1}) < U \leq C_F(v_j)$  (1) benötigt naiv  $O(n)$
- Berechne  $I_j = \lfloor C_F(v_j) * d \rfloor + 1$  (2)
- für Tabelleneintrag  $T(I_j) = k$ , sodass  $I(k) = I(j)$ .



# Hash-basierte Inversionsmethode

## Generierung.

Hashtabelle mit Einträgen  $T(i)$  und Zufallszahl  $U$ .

# Hash-basierte Inversionsmethode

## Generierung.

Hashtabelle mit Einträgen  $T(i)$  und Zufallszahl  $U$ .

- Berechne  $I_U$  mit (2)

# Hash-basierte Inversionsmethode

## Generierung.

Hashtabelle mit Einträgen  $T(i)$  und Zufallszahl  $U$ .

- Berechne  $I_U$  mit (2)
- für Index  $i = T(I_U)$ .

# Hash-basierte Inversionsmethode

## Generierung.

Hashtabelle mit Einträgen  $T(i)$  und Zufallszahl  $U$ .

- Berechne  $I_U$  mit (2)
- für Index  $i = T(I_U)$ .
- Überprüfe Menge der Teilmengen  $\{C_F(v_i), \dots, C_F(v_{r-1})\}$  mit (1), sodass  $I(i) \neq I(r)$  und  $r > i$ .

# Hash-basierte Inversionsmethode

## Generierung.

Hashtabelle mit Einträgen  $T(i)$  und Zufallszahl  $U$ .

- Berechne  $I_U$  mit (2)
- für Index  $i = T(I_U)$ .
- Überprüfe Menge der Teilmengen  $\{C_F(v_i), \dots, C_F(v_{r-1})\}$  mit (1), sodass  $I(i) \neq I(r)$  und  $r > i$ .
- Sobald Ungleichung (1) erfüllt, ist  $X = v_j$

# Hash-basierte Inversionsmethode: Beispiel

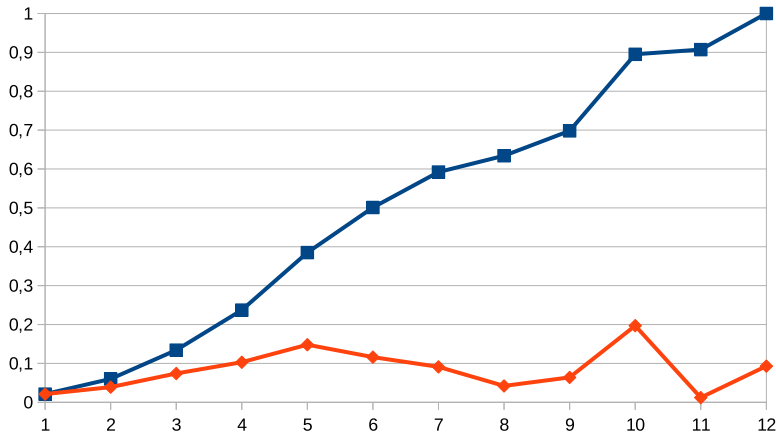


Abbildung: Verteilungsfunktion  $F$  (orange) und ihre kumulative Dichte  $C_F$

Einstieg

oo

Funktionsweise

oooo●oo

Vergleich

o

Implementierung

o

Zusammenfassung

oo

# Hash-basierte Inversionsmethode: Beispiel

$X_j$	$C_F(X_j)$	$X_j$	$C_F(X_j)$
$v_1$	0.021	$v_7$	0.592
$v_2$	0.060	$v_8$	0.634
$v_3$	0.134	$v_9$	0.698
$v_4$	0.237	$v_{10}$	0.895
$v_5$	0.385	$v_{11}$	0.907
$v_6$	0.501	$v_{12}$	1.000

Tabelle: Chen und Asau 1974

# Hash-basierte Inversionsmethode: Beispiel

$X_j$	$C_F(X_j)$	$I_j$	$X_j$	$C_F(X_j)$
$v_1$	0.021	1	$v_7$	0.592
$v_2$	0.060	1	$v_8$	0.634
$v_3$	0.134	2	$v_9$	0.698
$v_4$	0.237	3	$v_{10}$	0.895
$v_5$	0.385	4	$v_{11}$	0.907
$v_6$	0.501	6	$v_{12}$	1.000

Tabelle: Chen und Asau 1974



# Hash-basierte Inversionsmethode: Beispiel

$X_j$	$C_F(X_j)$	$l_j$	$X_j$	$C_F(X_j)$	$l_j$
$v_1$	0.021	1	$v_7$	0.592	6
$v_2$	0.060	1	$v_8$	0.634	7
$v_3$	0.134	2	$v_9$	0.698	7
$v_4$	0.237	3	$v_{10}$	0.895	9
$v_5$	0.385	4	$v_{11}$	0.907	10
$v_6$	0.501	6	$v_{12}$	1.000	11

Tabelle: Chen und Asau 1974

# Hash-basierte Inversionsmethode: Beispiel

$X_j$	$C_F(X_j)$	$I_j$	$X_j$	$C_F(X_j)$	$I_j$
$v_1$	0.021	1	$v_7$	0.592	6
$v_2$	0.060	1	$v_8$	0.634	7
$v_3$	0.134	2	$v_9$	0.698	7
$v_4$	0.237	3	$v_{10}$	0.895	9
$v_5$	0.385	4	$v_{11}$	0.907	10
$v_6$	0.501	6	$v_{12}$	1.000	11

Tabelle: Chen und Asau 1974

# Hash-basierte Inversionsmethode: Beispiel

$X_j$	$C_F(X_j)$	$l_j$	$T(l_j)$	$X_j$	$C_F(X_j)$	$l_j$
$v_1$	0.021	1	1	$v_7$	0.592	6
$v_2$	0.060	1	1	$v_8$	0.634	7
$v_3$	0.134	2	3	$v_9$	0.698	7
$v_4$	0.237	3	4	$v_{10}$	0.895	9
$v_5$	0.385	4	5	$v_{11}$	0.907	10
$v_6$	0.501	6	6	$v_{12}$	1.000	11

Tabelle: Chen und Asau 1974

# Hash-basierte Inversionsmethode: Beispiel

$X_j$	$C_F(X_j)$	$l_j$	$T(l_j)$	$X_j$	$C_F(X_j)$	$l_j$
$v_1$	0.021	1	1	$v_7$	0.592	6
$v_2$	0.060	1	1	$v_8$	0.634	7
$v_3$	0.134	2	3	$v_9$	0.698	7
$v_4$	0.237	3	4	$v_{10}$	0.895	9
$v_5$	0.385	4	5	$v_{11}$	0.907	10
$v_6$	0.501	6	6	$v_{12}$	1.000	11

Tabelle: Chen und Asau 1974

# Hash-basierte Inversionsmethode: Beispiel

$X_j$	$C_F(X_j)$	$I_j$	$T(I_j)$	$X_j$	$C_F(X_j)$	$I_j$	$T(I_j)$
$v_1$	0.021	1	1	$v_7$	0.592	6	6
$v_2$	0.060	1	1	$v_8$	0.634	7	8
$v_3$	0.134	2	3	$v_9$	0.698	7	8
$v_4$	0.237	3	4	$v_{10}$	0.895	9	10
$v_5$	0.385	4	5	$v_{11}$	0.907	10	11
$v_6$	0.501	6	6	$v_{12}$	1.000	11	12

Tabelle: Chen und Asau 1974

# Hash-basierte Inversionsmethode: Beispiel

$u = 0.642$

$X_j$	$C_F(X_j)$	$I_j$	$T(I_j)$
$v_7$	0.592	6	6
$v_8$	0.634	7	8
$v_9$	0.698	7	8
$v_{10}$	0.895	9	10
$v_{11}$	0.907	10	11
$v_{12}$	1.000	11	12

Chen und Asau 1974

Einstieg  
○○

Funktionsweise  
○○○○○○●

Vergleich  
○

Implementierung  
○

Zusammenfassung  
○○

# Hash-basierte Inversionsmethode: Beispiel

**u = 0.642**

■  $I_u = \lfloor u * 10 \rfloor + 1 = 7$

$X_j$	$C_F(X_j)$	$I_j$	$T(I_j)$
$v_7$	0.592	6	6
$v_8$	0.634	7	8
$v_9$	0.698	7	8
$v_{10}$	0.895	9	10
$v_{11}$	0.907	10	11
$v_{12}$	1.000	11	12

Chen und Asau 1974

Einstieg  
○○

Funktionsweise  
○○○○○○●

Vergleich  
○

Implementierung  
○

Zusammenfassung  
○○

# Hash-basierte Inversionsmethode: Beispiel

**u = 0.642**

■  $l_u = \lfloor u * 10 \rfloor + 1 = 7$

■  $i = T(l_u) = T(7) = 8$

$X_j$	$C_F(X_j)$	$l_j$	$T(l_j)$
$v_7$	0.592	6	6
$v_8$	0.634	7	8
$v_9$	0.698	7	8
$v_{10}$	0.895	9	10
$v_{11}$	0.907	10	11
$v_{12}$	1.000	11	12

Chen und Asau 1974

Einstieg  
○○

Funktionsweise  
○○○○○○●

Vergleich  
○

Implementierung  
○

Zusammenfassung  
○○



# Hash-basierte Inversionsmethode: Beispiel

**u = 0.642**

- $l_u = \lfloor u * 10 \rfloor + 1 = 7$
- $i = T(l_u) = T(7) = 8$
- $r$  ist nächstgrößerer Index, sodass  $T(v_r) \neq T(v_i)$ , also  $r = 10$

$X_j$	$C_F(X_j)$	$l_j$	$T(l_j)$
$v_7$	0.592	6	6
$v_8$	0.634	7	8
$v_9$	0.698	7	8
$v_{10}$	0.895	9	10
$v_{11}$	0.907	10	11
$v_{12}$	1.000	11	12

Chen und Asau 1974

# Hash-basierte Inversionsmethode: Beispiel

**u = 0.642**

- $I_u = \lfloor u * 10 \rfloor + 1 = 7$
- $i = T(I_u) = T(7) = 8$
- $r$  ist nächstgrößerer Index, sodass  $T(v_r) \neq T(v_i)$ , also  $r = 10$
- $F(v_{i-1}) < u \leq F(v_r)$

$X_j$	$C_F(X_j)$	$I_j$	$T(I_j)$
$v_7$	0.592	6	6
$v_8$	0.634	7	8
$v_9$	0.698	7	8
$v_{10}$	0.895	9	10
$v_{11}$	0.907	10	11
$v_{12}$	1.000	11	12

Chen und Asau 1974

# Hash-basierte Inversionsmethode: Beispiel

**u = 0.642**

- $l_u = \lfloor u * 10 \rfloor + 1 = 7$
- $i = T(l_u) = T(7) = 8$
- $r$  ist nächstgrößerer Index, sodass  $T(v_r) \neq T(v_i)$ , also  $r = 10$
- $F(v_{i-1}) < u \leq F(v_r)$

$X_j$	$C_F(X_j)$	$l_j$	$T(l_j)$
$v_7$	0.592	6	6
$v_8$	0.634	7	8
$v_9$	0.698	7	8
$v_{10}$	0.895	9	10
$v_{11}$	0.907	10	11
$v_{12}$	1.000	11	12

Chen und Asau 1974

# Hash-basierte Inversionsmethode: Beispiel

$u = 0.642$

- $l_u = \lfloor u * 10 \rfloor + 1 = 7$
- $i = T(l_u) = T(7) = 8$
- $r$  ist nächstgrößerer Index, sodass  $T(v_r) \neq T(v_i)$ , also  $r = 10$
- $F(v_{i-1}) < u \leq F(v_r)$
- $u < F(v_9) \rightarrow X = v_9$

$X_j$	$C_F(X_j)$	$l_j$	$T(l_j)$
$v_7$	0.592	6	6
$v_8$	0.634	7	8
$v_9$	0.698	7	8
$v_{10}$	0.895	9	10
$v_{11}$	0.907	10	11
$v_{12}$	1.000	11	12

Chen und Asau 1974

# Vergleich der Invertierungsmethoden

Größe	Methode	Anzahl an generierten Zufallsvariablen					
		200	300	500	1000	3000	7000
5	Standard	0.0623	0.0914	0.1511	0.3062	0.9498	2.1846
	Binäre Suche	0.08493	0.1245	0.2152	0.4230	1.2352	3.01873
	Hash-basiert	0.0826	0.1233	0.2117	0.4296	1.1698	2.48563
50	Standard	0.1834	0.2959	0.5357	0.9973	3.1 698	7.1161
	Binäre Suche	0.1549	0.2245	0.3745	0.7491	2.3863	5.3035
	Hash-basiert	0.0865	0.1288	0.2161	0.4401	1.4096	2.970
100	Standard	0.3465	0.5 196	0.8968	1.8139	5.4206	11.2695
	Binäre Suche	0.17373	0.261 2	0.4399	0.8641	2.4420	6.23313
	Hash-basiert	0.09593	0.1 469	0.2488	0.5282	1.5539	3.51973

Tabelle: Chen und Asau 1974

# Vergleich der Invertierungsmethoden

Größe	Methode	Anzahl an generierten Zufallsvariablen					
		200	300	500	1000	3000	7000
5	Standard	0.0623	0.0914	0.1511	0.3062	0.9498	2.1846
	Binäre Suche	0.08493	0.1245	0.2152	0.4230	1.2352	3.01873
	Hash-basiert	0.0826	0.1233	0.2117	0.4296	1.1698	2.48563
50	Standard	0.1834	0.2959	0.5357	0.9973	3.1 698	7.1161
	Binäre Suche	0.1549	0.2245	0.3745	0.7491	2.3863	5.3035
	Hash-basiert	0.0865	0.1288	0.2161	0.4401	1.4096	2.970
100	Standard	0.3465	0.5 196	0.8968	1.8139	5.4206	11.2695
	Binäre Suche	0.17373	0.261 2	0.4399	0.8641	2.4420	6.23313
	Hash-basiert	0.09593	0.1 469	0.2488	0.5282	1.5539	3.51973

Tabelle: Chen und Asau 1974

# Vergleich der Invertierungsmethoden

Größe	Methode	Anzahl an generierten Zufallsvariablen					
		200	300	500	1000	3000	7000
5	Standard	0.0623	0.0914	0.1511	0.3062	0.9498	2.1846
	Binäre Suche	0.08493	0.1245	0.2152	0.4230	1.2352	3.01873
	Hash-basiert	0.0826	0.1233	0.2117	0.4296	1.1698	2.48563
50	Standard	0.1834	0.2959	0.5357	0.9973	3.1 698	7.1161
	Binäre Suche	0.1549	0.2245	0.3745	0.7491	2.3863	5.3035
	Hash-basiert	0.0865	0.1288	0.2161	0.4401	1.4096	2.970
100	Standard	0.3465	0.5 196	0.8968	1.8139	5.4206	11.2695
	Binäre Suche	0.17373	0.261 2	0.4399	0.8641	2.4420	6.23313
	Hash-basiert	0.09593	0.1 469	0.2488	0.5282	1.5539	3.51973

Tabelle: Chen und Asau 1974

# Beispielcode

```
function SEARCH_SINGLE(self, U)
   $Z \leftarrow self.hash(U)$ 
  while  $self.T[Z] \leq U$  do  $Z \leftarrow Z + 1$ 
  end while
  return  $self.PS[Z]$ 
end function
```

Knirsch 2021

Einstieg  
○○

Funktionsweise  
○○○○○○○

Vergleich  
○

Implementierung  
●

Zusammenfassung  
○○



# Kurz & Knapp

- Schnelle Generierung von großen Datenmengen

Einstieg  
○○

Funktionsweise  
○○○○○○○

Vergleich  
○

Implementierung  
○

Zusammenfassung  
●○

# Kurz & Knapp

- Schnelle Generierung von großen Datenmengen
- Beibehaltung aller Eigenschaften der ursprünglichen Funktion

# Kurz & Knapp

- Schnelle Generierung von großen Datenmengen
- Beibehaltung aller Eigenschaften der ursprünglichen Funktion
- einfaches Prinzip

# Verbesserungsmöglichkeit

- **Problem:** Funktion mit sehr hoher Dichte an wenigen Stellen, sonst nur geringe Dichte.

# Verbesserungsmöglichkeit

- **Problem:** Funktion mit sehr hoher Dichte an wenigen Stellen, sonst nur geringe Dichte.  
→ Dort fallen alle Punkte zusammen.

# Verbesserungsmöglichkeit

- **Problem:** Funktion mit sehr hoher Dichte an wenigen Stellen, sonst nur geringe Dichte.
  - Dort fallen alle Punkte zusammen.
  - Hohe Ungenauigkeit an wichtigen Stellen.

# Verbesserungsmöglichkeit

- **Problem:** Funktion mit sehr hoher Dichte an wenigen Stellen, sonst nur geringe Dichte.
  - Dort fallen alle Punkte zusammen.
  - Hohe Ungenauigkeit an wichtigen Stellen.
- **Lösung:** Hashtabelle nicht gleichmäßig populieren, sondern für diese Stellen höhere Genauigkeit durch mehr Einträge ermöglichen.

# Verbesserungsmöglichkeit

- **Problem:** Funktion mit sehr hoher Dichte an wenigen Stellen, sonst nur geringe Dichte.
  - Dort fallen alle Punkte zusammen.
  - Hohe Ungenauigkeit an wichtigen Stellen.
- **Lösung:** Hashtabelle nicht gleichmäßig populieren, sondern für diese Stellen höhere Genauigkeit durch mehr Einträge ermöglichen.
- **Allerdings:** stark erhöhter Initialisierungsaufwand



# Literatur I

- [1] Hui-Chuan Chen und Yoshinori Asau. „On Generating Random Variates from an Empirical Distribution“. In: *A I I E Transactions* 6.2 (1974), S. 163–166. DOI: 10.1080/05695557408974949. eprint: <https://doi.org/10.1080/05695557408974949>. URL: <https://doi.org/10.1080/05695557408974949>.
- [2] Luc Devroye. *Non-Uniform Random Variate Generation*. Springer New York, 1986.
- [3] Daniel Frisch und Uwe D. Hanebeck. „Deterministic Gaussian Sampling With Generalized Fibonacci Grids“. In: *Proceedings of the 24th International Conference on Information Fusion (Fusion 2021)*. South Africa, Nov. 2021.
- [4] Lukas Knirsch. *Punkt-Warping: Inversionsmethode mit Hash-Tabelle*. GitHub-Repository. 2021. URL: <https://github.com/knirschl/Proseminar-Anthropomatik>.
- [5] Colas Schretter, Leif Kobbelt und Paul-Olivier Dehaye. „Golden Ratio Sequences for Low-Discrepancy Sampling“. In: *Journal of Graphics Tools* 16 (Juni 2012), S. 9. DOI: 10.1080/2165347X.2012.679555.

# Literatur II

- [6] Tien-Tsin Wong, Wai-Shing Luk und Pheng-Ann Heng. „Sampling with Hammersley and Halton Points“. In: *Journal of Graphics Tools* 2.2 (1997), S. 9–24. DOI: 10.1080/10867651.1997.10487471. eprint: <https://doi.org/10.1080/10867651.1997.10487471>. URL: <https://doi.org/10.1080/10867651.1997.10487471>.
- [7] Dong-Ming Yan u. a. „A survey of blue-noise sampling and its applications“. In: *Journal of Computer Science and Technology* 30.3 (2015), S. 439–452.

**Vielen Dank für Ihre Aufmerksamkeit!**